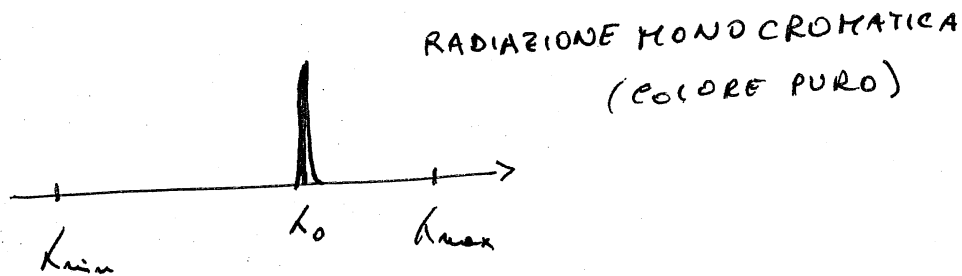
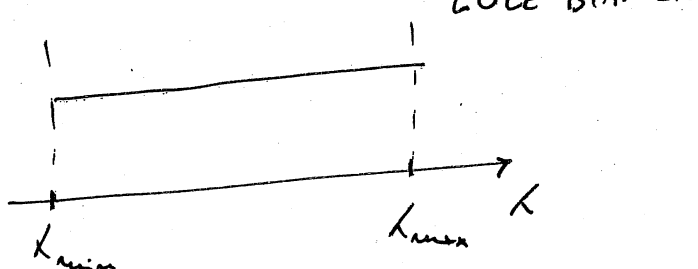
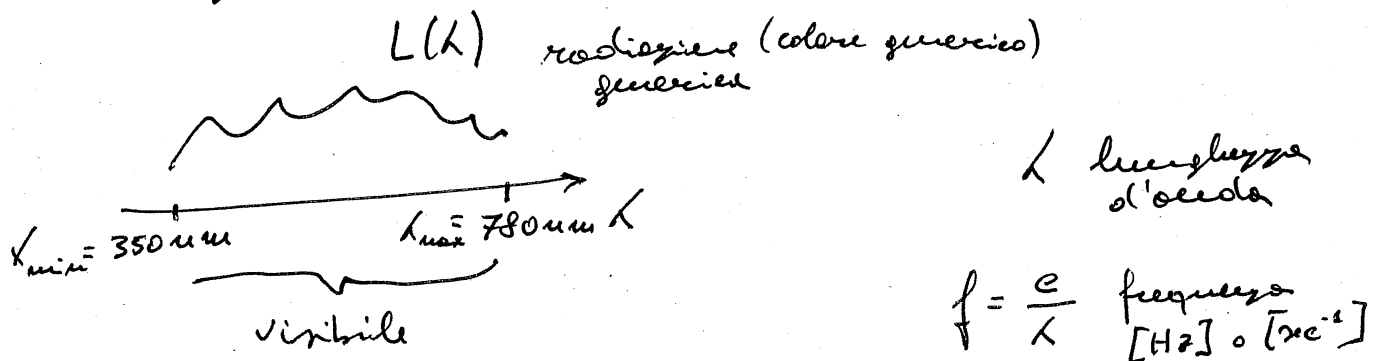


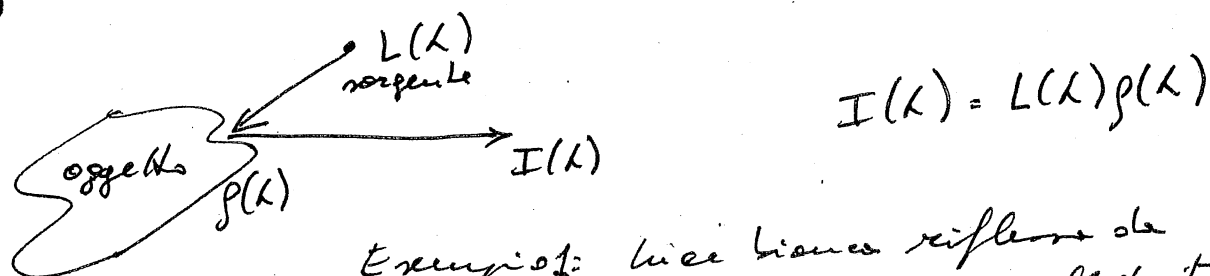
(SUN) LABORATORIO DI TELECOMUNICAZIONI
 (Prof. F. PALMIERI) [APPUNTI DALLE LEZIONI 2011]

ELEMENTI DI PERCEZIONE DELLE IMMAGINI

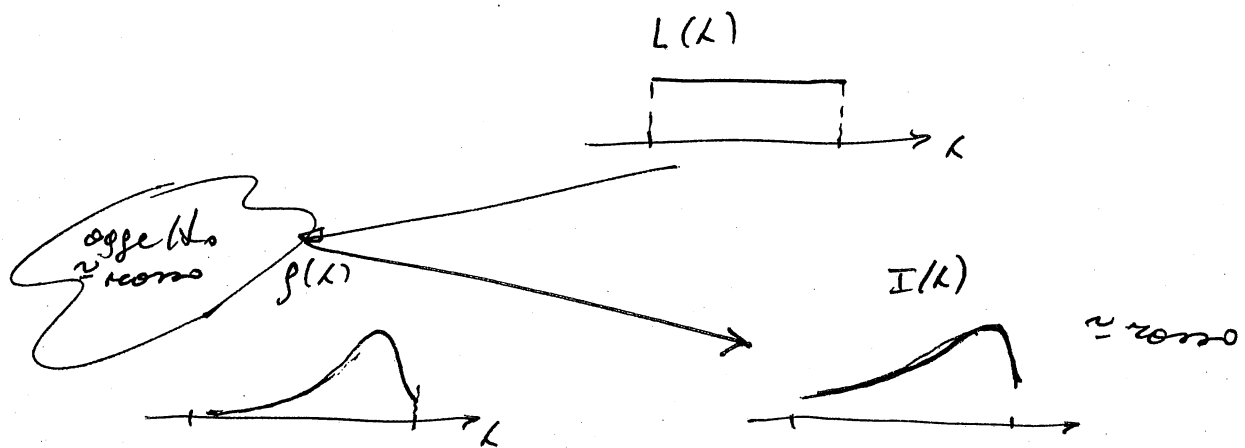
Radiazione luminosa



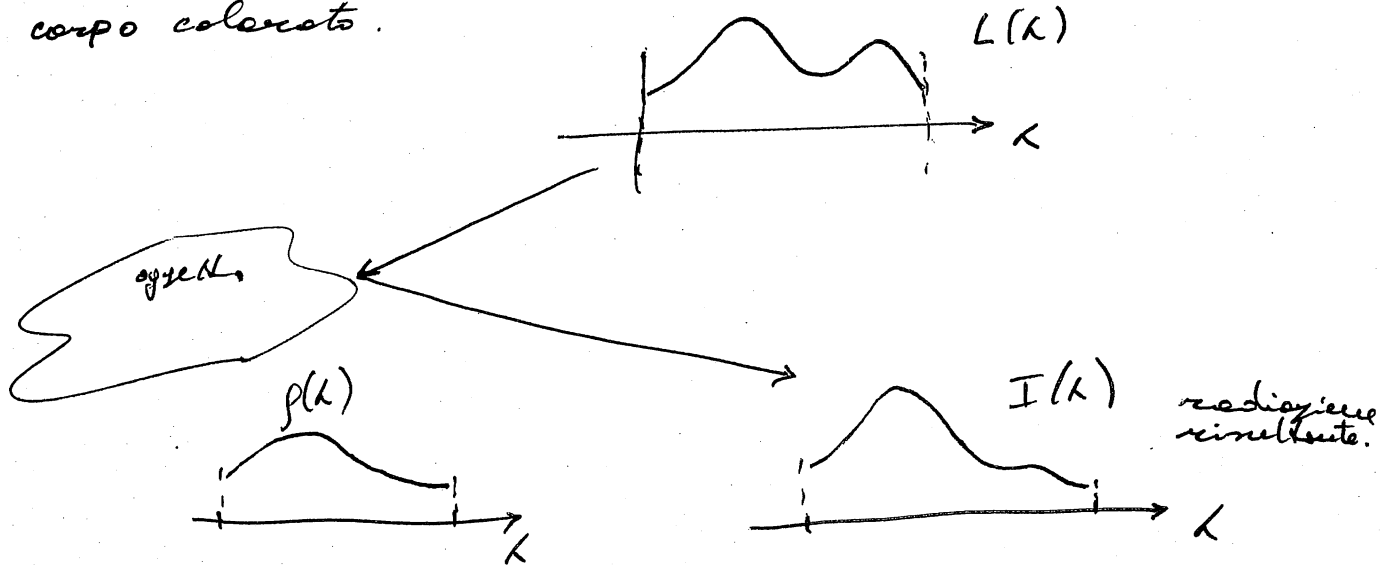
La radiazione percepita è tipicamente quella proveniente dalla interazione con corpi riflettenti.

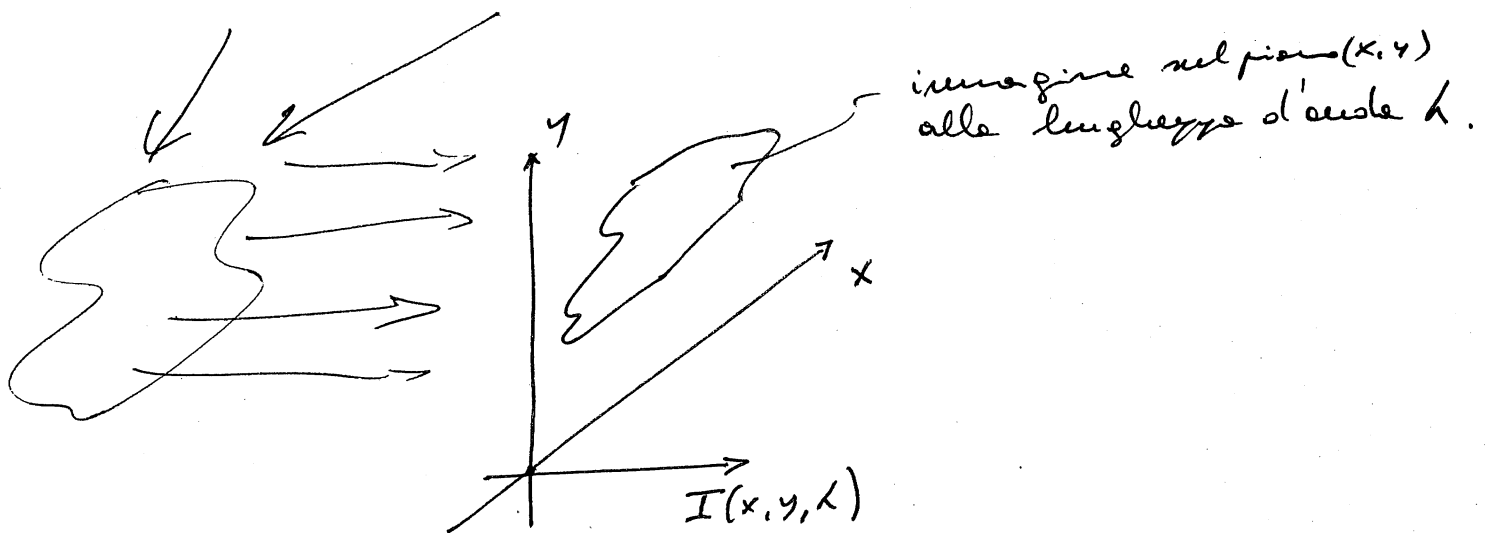


Esempio: luce bianca riflessa da un corpo con funzione di riflettività $\rho(\lambda)$ rivolta verso il muro:



Esempio 2 : Radiazione emessa riflesso da un corpo colorato.





La definizione di una immagine complessiva sul piano (x, y) richiede la rappresentazione di tutti (infinti) contributi alle varie lunghezze d'onda, magari secondo una opportuna funzione di peso $V(k)$ detta "funzione di efficienza"

$$I(x, y) = \int_{k_{\min}}^{k_{\max}} I(x, y, k) V(k) dk$$

Ma la percezione delle immagini come avviene?
Quelli sono gli stadi intermedi tra il mondo fisico circostante e il nostro sistema nervoso?

STRUTTURA SCHEMATICA DELLA RETINA

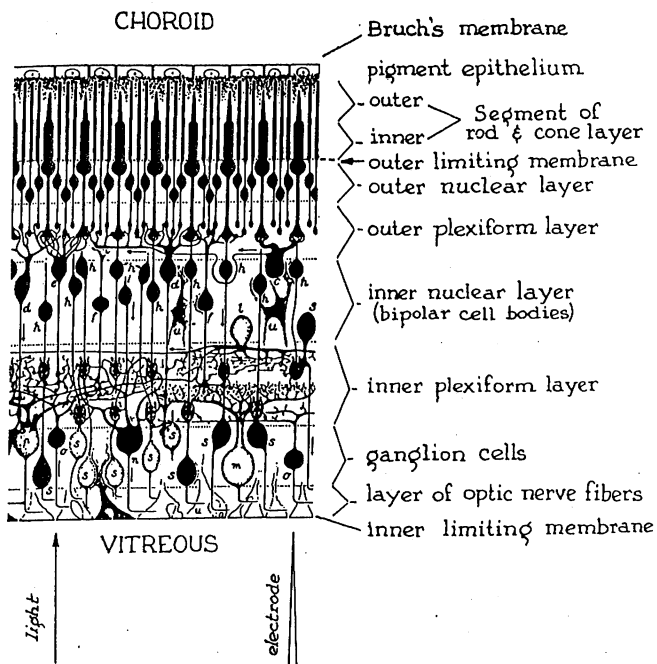


Figure 3.19 A sketched representation of an actual retinal cross section. Figure 3.12 is an abstract version of this diagram and Figure 3.13 is a view at a lower magnification. Here it is about 400. [From T. C. Ruch, "Vision and the Retina," in T. C. Ruch and H. D. Patton (eds.), "Physiology and Biophysics," vol. 1, "The Brain and Neural Function," 20th ed., 1979, Saunders, Philadelphia, pp. 461-513, from S. L. Polyak, "The Retina," University of Chicago Press, Chicago, 1941.]

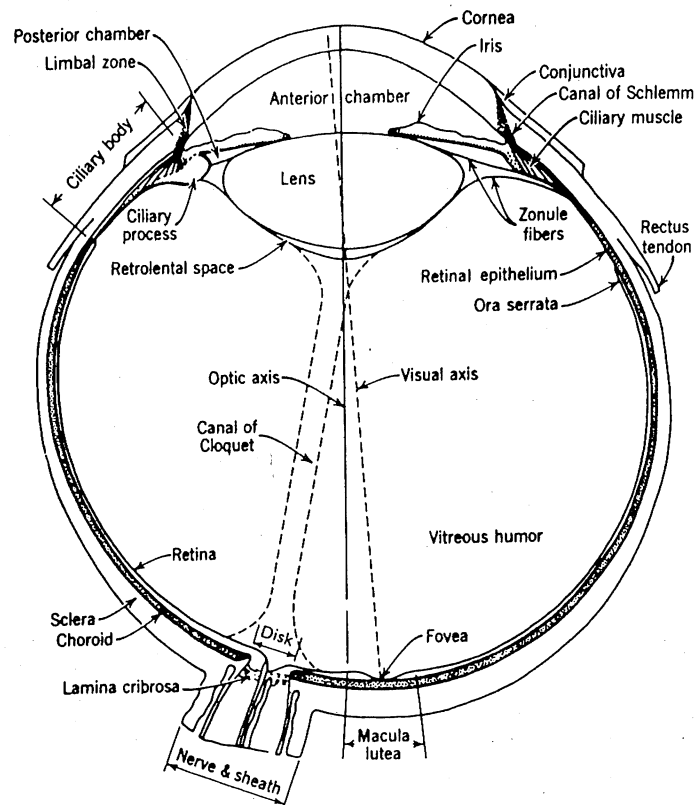
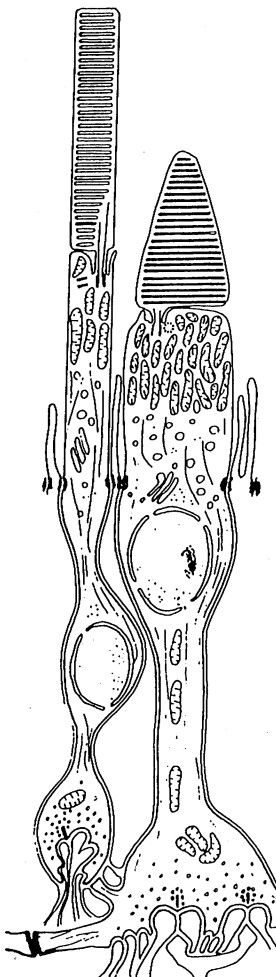


Figure 3.2 A horizontal cross section of the human eye viewed from above and showing the different stages of the optical system. The retina appears at the rear and is well protected from environmental disturbances. [From W. R. Uttal, "The Psychobiology of Sensory Coding," Harper & Row, New York, 1973, p. 102, in J. L. Brown, "The Structure of the Visual System," in C. H. Graham (ed.), "Vision and Visual Perception," Wiley, New York, 1965, pp. 39-59; after G. L. Walls, "The Vertebrate Eye," Cranbrook Institute of Science, Bloomfield Hills, Mich., 1942, as modified from M. Salzmann, "The Anatomy and Physiology of the Human Eyeball in the Normal State," University of Chicago Press, Chicago, 1912.]



6.5 M CONI (CONES)
160 M BASTONCELLI (RODS)

CONI → VISIONE
FOTOPICA

BASTONCELLI → VISIONE
SCOTOPICA

Figure 3.16 Human rod (left) and cone (right). (From L. Missotten, "The Ultrastructure of the Human Retina," Editions Arscia Uitgaven, N.V., Brussels, 1965.)

PERCEZIONE DEI COLORI

7

78 VISION IN MAN AND MACHINE

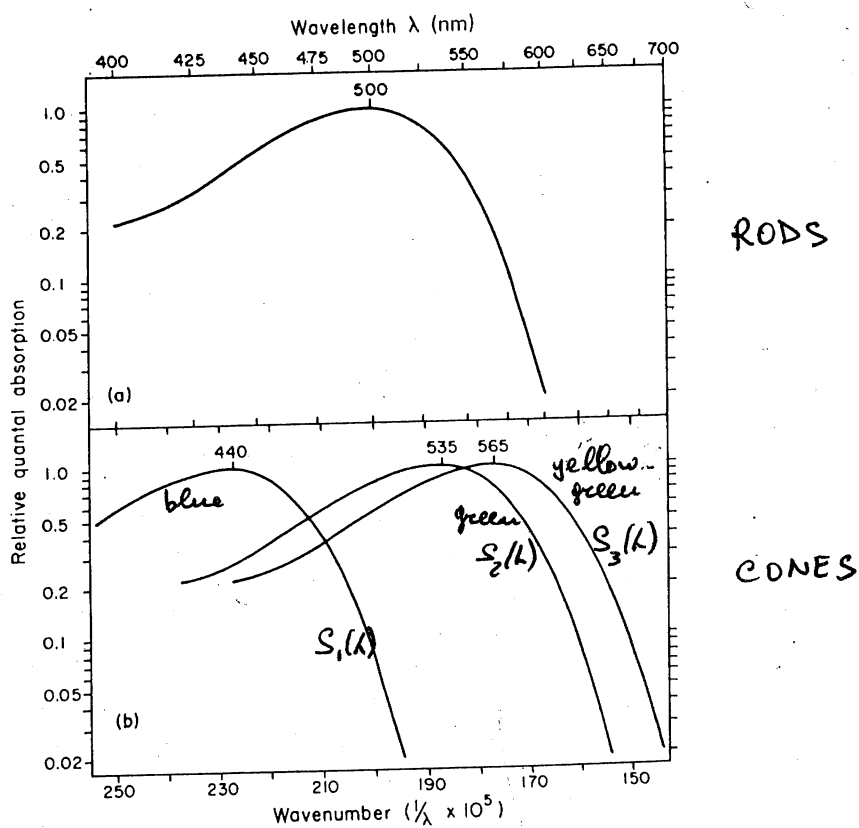
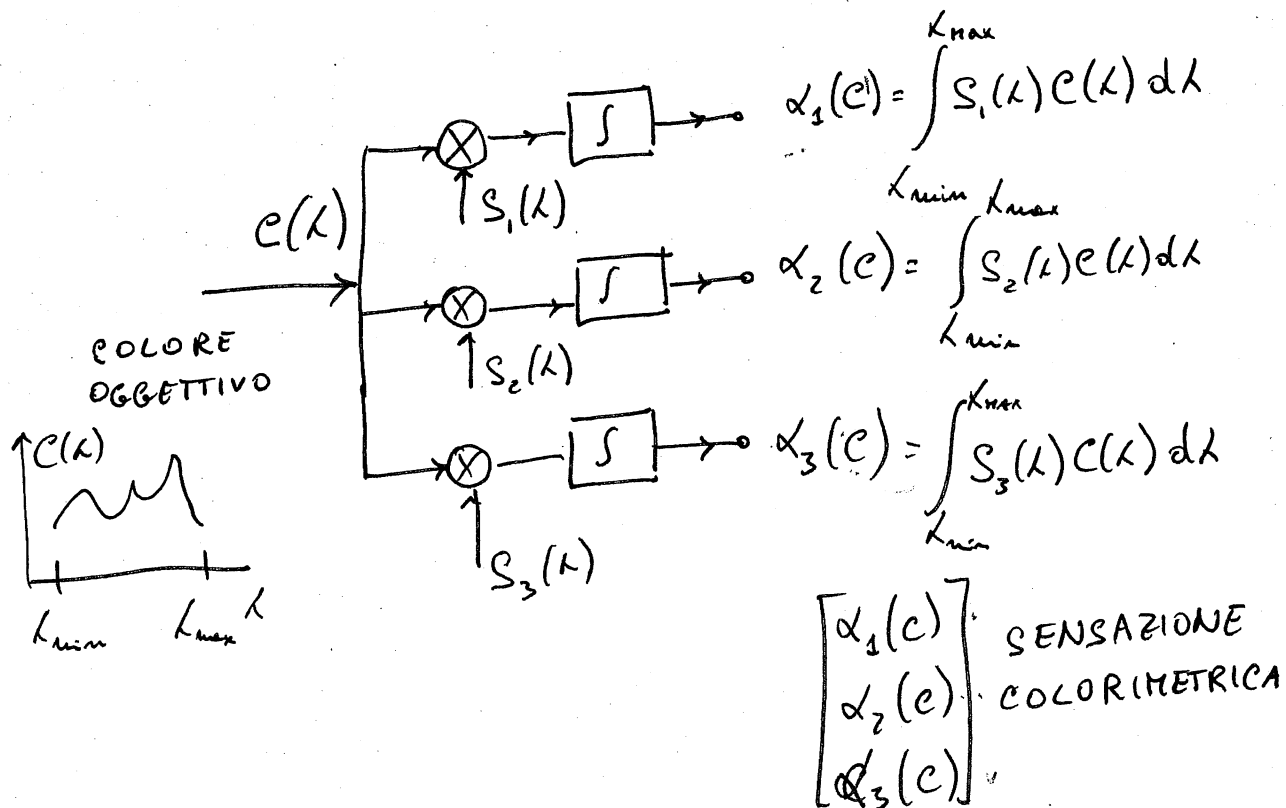
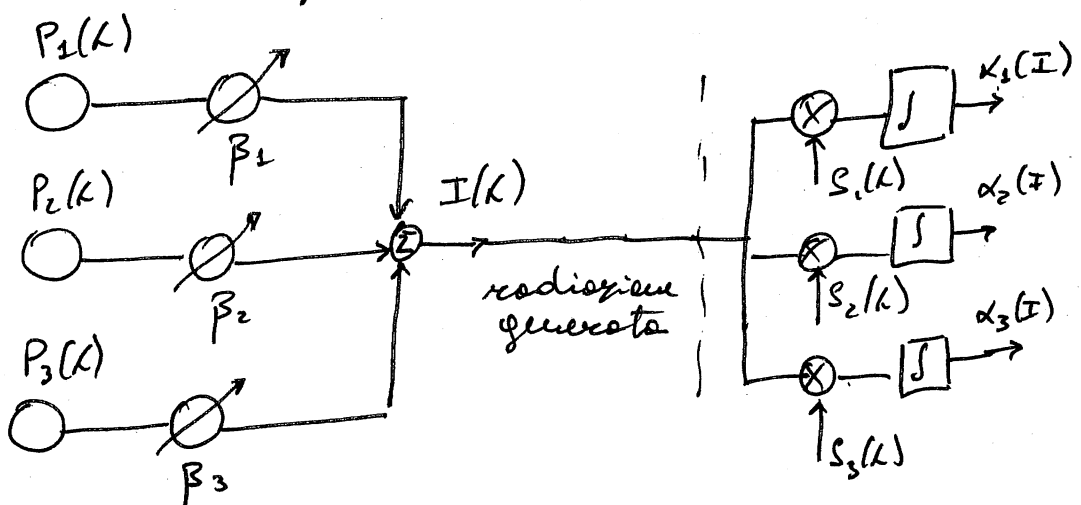


Figure 3.17 A representative set of absorption spectra for rhodopsin, the rod photopigment (a), and the cone photopigments (b). [From I. Abramov and J. Gordon, "Vision," in E. C. Carterette and M. P. Friedman (eds.), "Handbook of Perception: Biology of Perceptual Systems," vol. 3, Academic, New York, 1974, pp. 327-406.]



PROBLEMA:

Come ottenere una data radiazione colorimetrica con poche preoccuparsi dei dettagli di $C(\lambda)$? In altre parole, dato un colore oggettivo $C(\lambda)$, è possibile a partire da sorgenti artificiali simulare lo stesso stimolo? L'idea è molto semplice e esiste nel combinarne opportunamente almeno 3 sorgenti.



$$\alpha_i(I) = \int_{\lambda_{min}}^{\lambda_{max}} S_i(\lambda) I(\lambda) d\lambda = \int_{\lambda_{min}}^{\lambda_{max}} S_i(\lambda) \sum_{j=1}^3 \beta_j P_j(\lambda) d\lambda$$

$$= \sum_{j=1}^3 \beta_j \underbrace{\int_{\lambda_{min}}^{\lambda_{max}} S_i(\lambda) P_j(\lambda) d\lambda}_{\alpha_{ij}} \quad i = 1, 2, 3$$

$$\begin{cases} \alpha_1 = \alpha_{11} \beta_1 + \alpha_{12} \beta_2 + \alpha_{13} \beta_3 \\ \alpha_2 = \alpha_{21} \beta_1 + \alpha_{22} \beta_2 + \alpha_{23} \beta_3 \\ \alpha_3 = \alpha_{31} \beta_1 + \alpha_{32} \beta_2 + \alpha_{33} \beta_3 \end{cases}$$

EQUAZIONE DEL COLOR MATCHING

\Rightarrow
risolvili
il sistema

$\begin{bmatrix} \beta_1 \\ \beta_2 \\ \beta_3 \end{bmatrix}$ (proprietà da assegnare ad ogni sorgente)

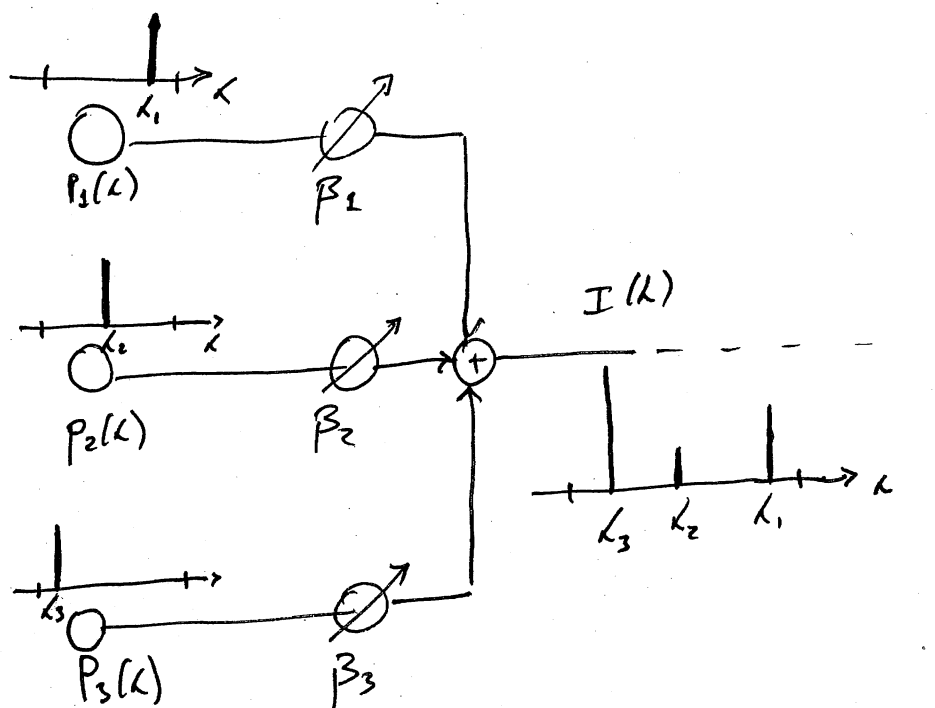
9

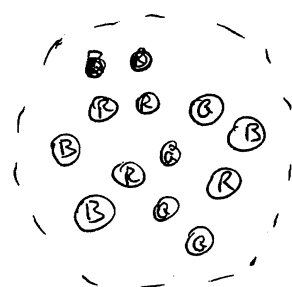
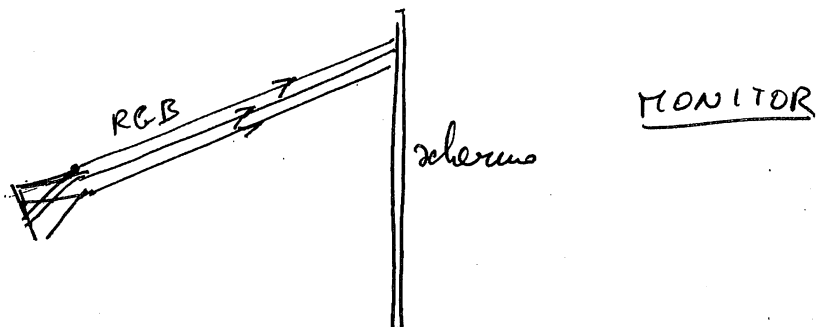
COLORI DELLE SORGENTI PRIMARIE DELLA RACCOMANDAZIONE
 CIE (Commissione Internazionale dell'Eclairage)
 Int. COMMITTEE OF COLOR STANDARD

$$P_1(\lambda) = \delta(\lambda - \lambda_1) \quad \lambda_1 = 700 \text{ nm (RED)}$$

$$P_2(\lambda) = \delta(\lambda - \lambda_2) \quad \lambda_2 = 546 \text{ nm (GREEN)}$$

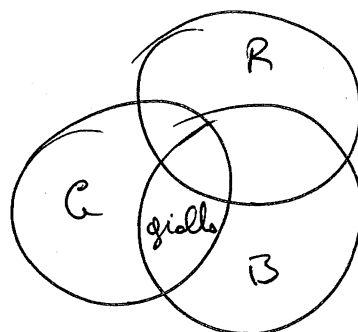
$$P_3(\lambda) = \delta(\lambda - \lambda_3) \quad \lambda_3 = 435 \text{ nm (BLUE)}$$





STAMPA

intensità $\{B_i\}$ ottenuta
dalla stampa di punti
di quel colore. Quelche
volta della dimensione.
Quelche volte i colori
vengono sovrapposti.



VGRNICI

è necessario varicare
le proporzioni di
ogni colore.

OSSERVAZIONI

- i daltonei (color blind) tipicamente mancano di uno o più dei ricezitori colorimetrici (cones). La loro percezione è basata su dati incompleti.
- il nero è più difficile da simulare con la sovrapposizione dei tre colori. Tuttavia il nero teorico è caratterizzato da una totale assenza di energia

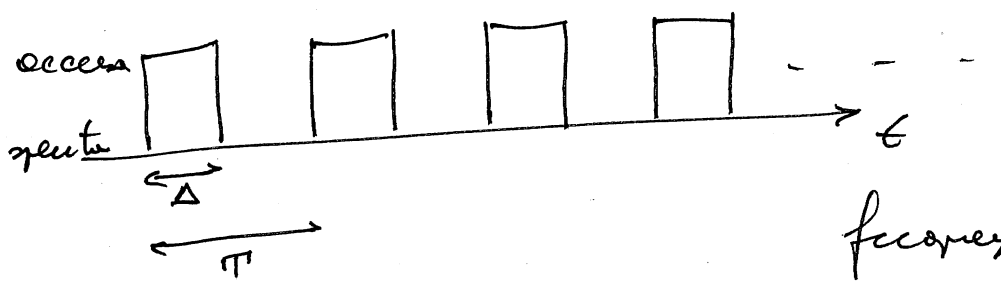


La rappresentazione del colore neutro lineare olivento sug dolce (non risolvibile). Nella stampa frequente spesso si ricorre ad ~~una~~ ~~solita~~ ~~ogni~~ allo stratagemma di creare un colore nero (ogni riflettore) o si genera un blu profondo per approssimarla.

RISOLUZIONE TEMPORALE DELLA VISIONE

Lo spettro della visione di percepire immagini in movimento è collegato alla capacità di distinguere variazioni successive nelle illuminazioni.

Esperimento: Accendi e spegni una lampadina a frequenza f



$$\text{frequenza} = \frac{1}{T} \text{ (Hertz)}$$

T periodo (sec)

Se $\frac{1}{T} > 50-60 \text{ Hz} \Rightarrow T < 17-20 \text{ msec}$

il segnale luminoso viene percepito come continuo

- Televisione: presenta un quadro ogni $\frac{1}{50}$ sec in Europa, ogni $\frac{1}{60}$ sec negli USA.
- Visione periferica un po' più veloce
- Percezione delle oscillazioni = FLICKER.
(Sfarfallio)